

Fig. 1.- Apilamiento de coladas de la formación basáltica I en el Barranco de Tasarte.



Fig. 10.- Barranco de Veneguera. Contacto entre la formación basáltica I (B) y la formación traquitico-riolítica extracaldera encima, compuesta por el vitrófido, lavas riolíticas (R) e ignimbritas (Ig).



Fig. 11.- Colada del vitrófido riolítico-traquítico (V) de la base de la formación traquitico-riolítica extracaldera, en el Barranco de Soria. En la parte inferior afloran las coladas de la formación basáltica I (B).



Fig. 12.- Dique riolítico (D) con un ensanchamiento local, cortando las coladas de la formación basáltica I. Carretera de Veneguera a Tasarte.



Fig. 13.- Falla (F) en el Barranco de Arguineguin separando la formación I (B), la formación traquítico-riolítica extracaldera, vitrófido (V), ignimbritas (Ig).



Fig. 14.- Sucesión de coladas de la formación traquítico-riolítica extracaldera en la ladera este del Barranco de Mogán. Vitrófido (V), encima las ignimbritas (Ig). En la parte baja la formación basáltica I (B).



Fig. 15.- Detalle textural del vitrófido riolítico-traquítico. Destacan fenocristales de sanidina y fragmentos de basalto (B).



Fig. 16.- Acantilado norte de la playa de Veneguera. En la parte inferior la lava riolítico-traquítica (L) y por encima las ignimbritas extracaldera (Ig).



Fig. 17.- Playa de Veneguera. La ladera norte está compuesta por la sucesión traquítico-riolítica extracaldera de lavas (L) e ignimbritas (Ig). El escarpe superior es la base de la formación fonolítica (F).



Fig. 18.- Detalle textural de la lava riolítico-traquítica extracaldera. Observense los fenocristales de sanidina.

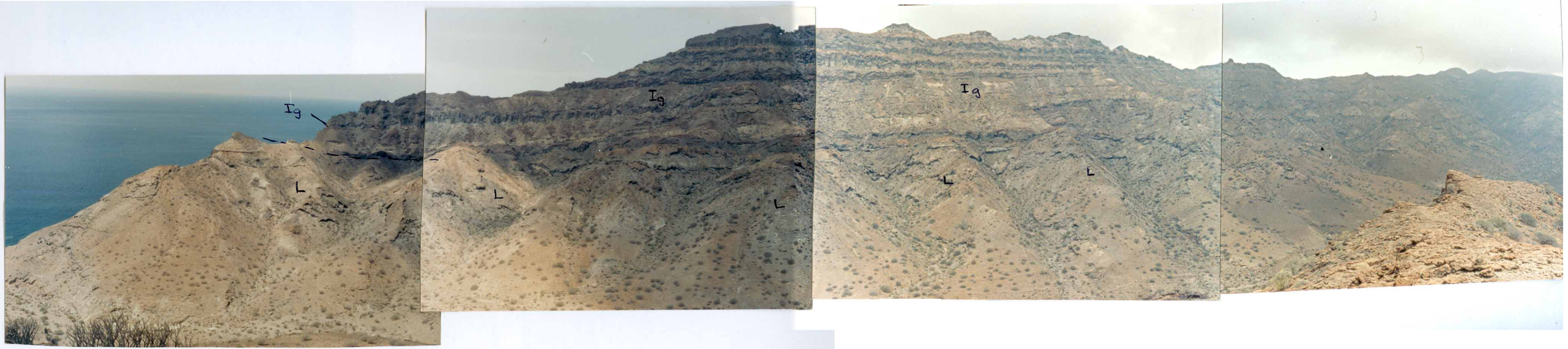


Fig. 19.- Panorámica de la ladera norte del Barranco de Los Secos. En la parte baja aflora la lava riolítico-traquítica (L) y encima una sucesión de ignimbritas de igual composición (Ig), extracaldera.



Fig. 2.- Acantilado formado por coladas de la formación basáltica I en la playa del -- Asno (desembocadura del Barranco de Tasartico).



Fig. 20.- Acantilado sur del Barranco de Tasarte, en el que se observa la sucesión de ignimbritas de la formación traquítico-riolítica extracaldera.



Fig. 21.- Sucesión de ignimbritas de la formación traquítico-riolítica en la ladera este del Barranco de Soria. El gran escarpe de la izquierda corresponde a un manto de la brecha Roque Nublo (B.R.N.)



Fig. 22.- Discordancias angulares internas entre las ignimbritas de la formación traquítico-riolítica extracaldera. Barranco del Perchel.



Fig. 23.- Base obsidiánica, totalmente caolinizada, de una colada ignimbritíca traquítico-riolítica. Barranco de Tasarte.



Fig. 24.- Toba ignimbrítica sálica del Barranco de Tauro.



Fig. 25.- Micropliegues de flujo en las ignimbritas sálicas de la formación traquítico-riolítica extracaldera. Playa de Veneguera.



Fig. 26.- Micropliegues de flujo en las ignimbritas sálicas de la formación traquítico-riolítica extracaldera. Playa de Veneguera.



Fig. 27.- Límite estructural de la Caldera de Tejeda en la cabecera del Barranco de Mogán. Las ignimbritas sálicas intracaldera (Ig) se superponen discordantemente sobre la formación basáltica I (B).



Fig. 28.- Tafonis en las traquitas extracaldera.



Fig. 29.- Alteraciones hidrotermales sobre las ignimbritas intracaldera ("azulejos") en el límite de la Caldera de Tejeda. La fecha señala la carretera de Veneguera a Tasarte en la zona de Los Quemados.



Fig. 3.- Potente escarpe en las coladas de la formación basáltica I en el Barranco de Tasarte.



Fig. 30.- Detalle de estrias de falla en ignimbritas de la zona del Mulato.



Fig. 31.- Sucesión de coladas fonolíticas en la ladera oeste del Barranco del Taurito.



Fig. 32.- Sucesión de ignimbritas traquítico-riolíticas extracaldera, con coladas fonolíticas en las cumbres.Cabecera del Barranco de Tauro.



Fig. 33.- Cabecera del Barranco del Taurito. Mantos de la brecha Roque Nublo (B.R.N.) -- rellenan discordantemente el Barranco formado por ignimbritas traquítico-rioli ticas y coladas fonolíticas en los escarpes superiores (F).



Fig. 34.- Panorámica de la Montaña de Tauro y de la presa de La Cueva de Las Niñas. En primer término grandes planchones redondeados de la brecha Roque Nublo (B.R.N.) sobre la que se sitúa la presa.

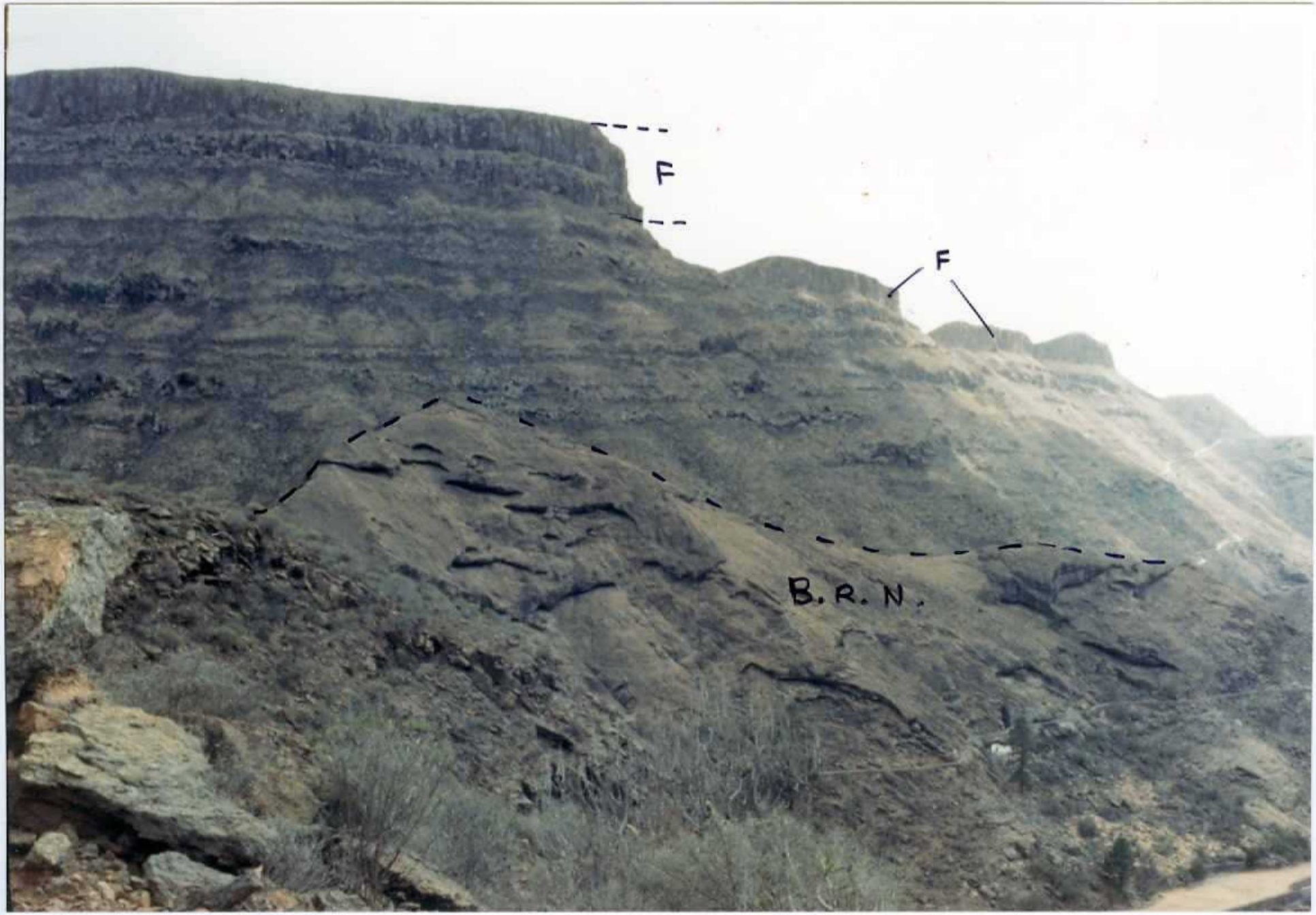


Fig. 35.- Mantos de la brecha Roque Nublo (B.R.N.) rellenan discordantemente el Barranco de Tauro. Las paredes del barranco son ignimbritas sálicas extracaldera. Los escarpes superiores corresponden a coladas fonolíticas (F).



Fig. 36.- Mantos de la brecha Roque Nublo (B.R.N.) rellenan discordantemente el fondo - del Barranco de Tauro. Las laderas del barranco son ignimbritas sálicas extra caldera (Ig), coronada por caladas fonolíticas (F). Lomo de Tauro Alto.



Fig. 37.- Aspecto textural de los niveles arenosos (¿epiclás_ ticos?) intercalados en la brecha Roque Nublo.



Fig. 38.- Retazo de la colada nefelinítica "intracanyon" apoyada en la formación basálti
ca I del Barranco de Tasartico.



Fig. 39.- Coladas basálticas del Roque Colorado perteneciente al ciclo Roque Nublo. Se sitúa sobre un nivel delgado del vitrófido riolítico-traquítico. Barranco de Tasarte.



Fig. 4.- Cono piroclástico de la formación basáltica I en la parte baja del Barranco de Tasarte.

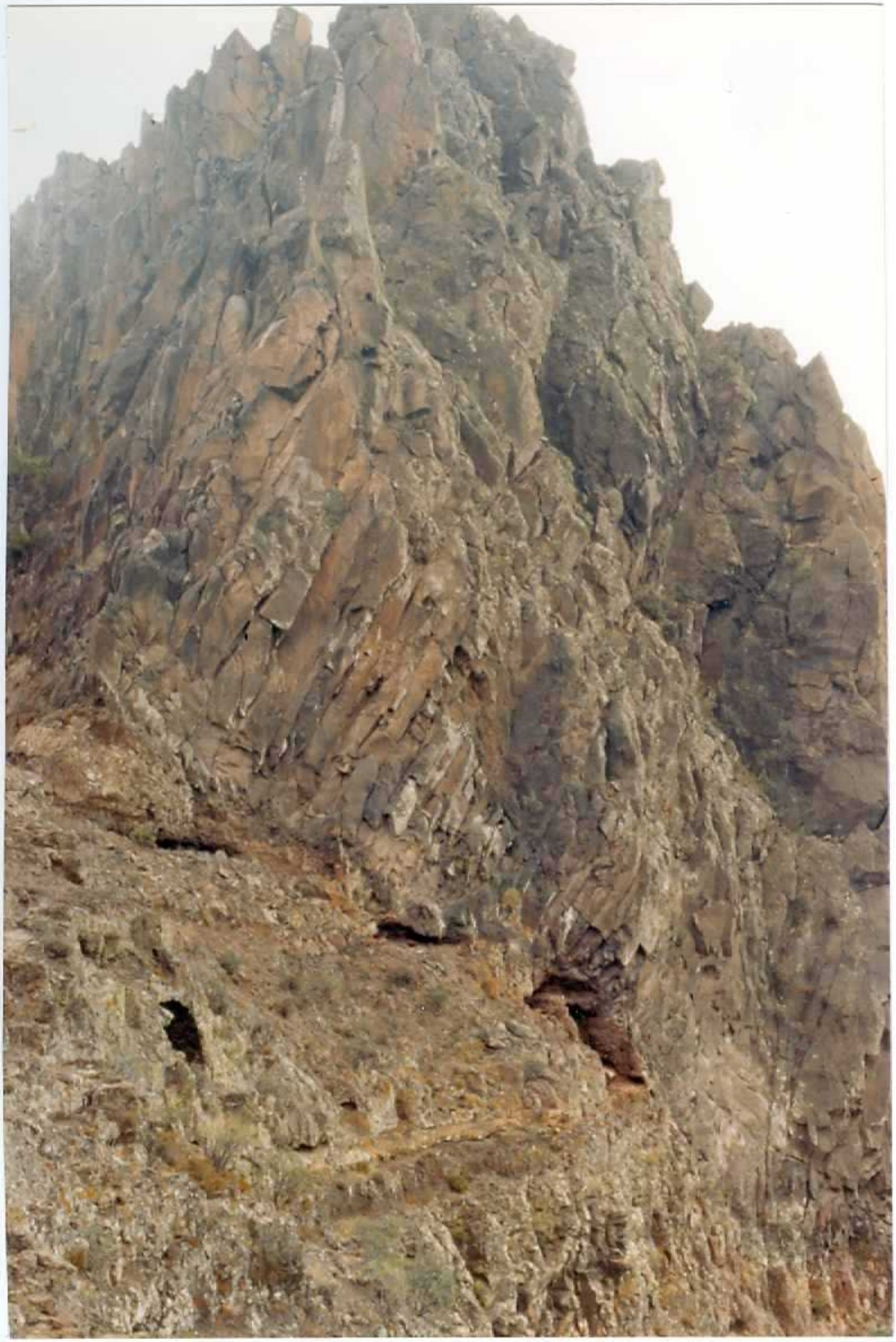


Fig. 40.- Detalle de las coladas basálticas en lo alto del Roque Colorado.



Fig. 41.- Coladas basálticas presumiblemente procedentes del Roque Colorado, que se encuentran formando una hombrera sobre las ignimbritas traquitíco-riolíticas del Barranco de Veneguera.



Fig. 42.- Aluvial actual del fondo del Barranco de Veneguera.



Fig. 5.- Formación basáltica I atravesada por un dique sálico potente (D) entre los -- Barrancos de Tasarte y veneguera.



Fig. 6.- Formación basáltica I en las laderas del Barranco de Mogán.



Fig. 7.- Formación basáltica I (B) con la sucesión de lavas e ignimbritas riolítico-traquíticas extracaldera (Ig) encima. Ladera oeste del Barranco de Mogán.



Fig. 8.- Valle de Mogán visto desde la presa del Mulato. Las laderas son de la formación basáltica I.



Fig. 9.- Roque del Pernal y Morro de las Marreras (ladera este del Barranco de Mogán). Formación basáltica I abajo (B), y vitrófido (V) e ignimbritas traquítico-riolíticas extracaldera (Ig) encima. Los escarpes más altos son de fonolitas y traquifonolitas.